

# Introduction aux algèbres de Hall cohomologiques

Amiens - 11/09/2025

- ① Introduction
- ② Carquois et algèbre de chemins
- ③ Champs algébriques, champs quotients
- ④ Carquois avec potentiel
- ⑤ Exemples

## ① Introduction

algèbres de Hall : Ringel ~1990's pour géométriser les algèbres de Kac-Moody  $U(q)$  et leurs déformations  $U_q(q)$   
nous a inspiré la construction de Lusztig de la catégorification de  $U_q(\mathbb{N}^+)$  et de la base canonique

algèbres de Hall cohomologiques : Kontsevich-Soibelman 2010  
et Schiffmann-Vasserot 2008. carquois (avec potentiel)  
algèbres preprojectives

## ① Carquois et algèbre de chemins

### Représentations

$$Q = (Q_0, Q_1)$$

ensemble de sommets      ensemble d'arêtes



$s, t : Q_1 \rightarrow Q_0$       fonctions "source" et "target"

représentation de  $Q$  :

$V_i, i \in Q_0$  espace vectoriel

$\varphi_\alpha \in \text{Hom}(V_{s(\alpha)}, V_{t(\alpha)}), \alpha \in Q_1$  application linéaire

morphisme de représentations :  $f : ((V_i)_{i \in Q_0}, (\varphi_\alpha)_{\alpha \in Q_1}) \rightarrow ((W_i)_{i \in Q_0}, (\psi_\alpha)_{\alpha \in Q_1})$

$(f_i)_{i \in Q_0}$  t.q.  $\forall \alpha \in Q_1,$

$$\begin{array}{ccc} V_{s(\alpha)} & \xrightarrow{\varphi_\alpha} & V_{t(\alpha)} \\ f_{s(\alpha)} \downarrow & & \downarrow f_{t(\alpha)} \\ W_{s(\alpha)} & \xrightarrow{\psi_\alpha} & W_{t(\alpha)} \end{array}$$

commute.

$\text{Rep } Q = \text{catégorie des représentations de } Q$

= catégorie abélienne (noyaux, conoyaux, ...)

$$\ker((f_i)_{i \in Q_0}) = \left( (\ker f_i)_{i \in Q_0}, \varphi_\alpha \left| \begin{array}{c} \ker f_{t(\alpha)} \\ \ker f_{s(\alpha)} \end{array} \right. \right), \dots$$

Problème historique: classifier les représentations d'un carquois à isomorphisme près.

Exemples:  $\mathbb{Q} = \bullet$        $\text{Rep } \mathbb{Q} = \text{Vect}(k)$  : classifié par la dimension

$\mathbb{Q} = \circ \rightarrow \bullet$        $\text{Rep } \mathbb{Q} = \left\{ (V, W, f \in \text{Hom}(V, W)) \right\}$   
classifié par  $(\dim V, \dim W, \text{rang } f)$ .

$\mathbb{Q} = \bullet$       carquois de Jordan

$\text{Rep } \mathbb{Q} = \left\{ (V, f \in \text{End}(V)) \right\}$       classifié par la forme normale de Jordan

$\mathbb{Q} = \mathcal{G}$       inclassifiable.

## Algèbre des chemins

$k$  corps

$kQ =$  algèbre associative engendrée par les chemins dans  $Q$ ; le produit est la concaténation des chemins.

ex.  $Q = \bullet$   $kQ = k$

$$Q = \begin{array}{c} \xrightarrow{\alpha} \\ 1 \quad 2 \end{array}$$

$$kQ = ke_1 \oplus ke_2 \oplus k\alpha$$

$$e_1\alpha = \alpha e_2 = \alpha$$

$$\alpha^2 = e_2\alpha = \alpha e_1 = 0$$

$$e_1^2 = e_1, e_2^2 = e_2$$

$$Q = \begin{array}{c} \curvearrowright \\ x \end{array} \quad kQ = k[x] \quad \text{alg. de polynômes}$$

$$Q = \begin{array}{c} \text{loop} \\ x \\ y \end{array}$$

$$kQ = k\langle x, y \rangle$$

Fact:  $\text{Rep } Q \cong \text{Mod } kQ$ .

## ② Champs algébriques

- Objets géométriques répondant à des problèmes de paramétrisation gardant la mémoire des automorphismes.

ex: · paramétriser 3 points du plan complexe  $\mathbb{C}^3 \setminus \mathbb{G}_3 \rightsquigarrow [\mathbb{C}^3 / \mathbb{G}_3]$

· paramétriser les espaces vectoriels de dimension d  
 $\text{pt} \setminus \text{GL}_d \rightsquigarrow [\text{pt} / \text{GL}_d]$

·  $G$  groupe (fini). Paramétriser les représentations de  $G$  de dimension  $d$ :  $\text{Hom}(G, \text{GL}_d) \setminus \text{GL}_d$

$$\rightsquigarrow [\text{Hom}(G, \text{GL}_d) / \text{GL}_d]$$

Ce sont des champs quotient :

$X$  variété algébrique

$G$  groupe algébrique (ex.  $G = \text{GL}_n$ )

$$G \curvearrowright X$$

$\rightsquigarrow$  il existe un objet  $[X/G]$  "champ quotient".

Comment comprendre  $[X/G]$ ?

Un "truc" sur  $[X/G]$  est un "truc  $G$ -équivariant" sur  $X$ .

$$\text{On a } G \times X \xrightarrow{a} X ; \quad G \times X \xrightarrow{p_2} X$$

Par exemple, un fibré vectoriel sur  $[X/G]$  est un fibré vectoriel  $G$ -équivariant sur  $X$ :

- $\mathcal{F} \rightarrow X$  fibré vectoriel
- +  $\alpha^* \mathcal{F} \stackrel{\varphi}{\cong} p_2^* \mathcal{F}$  iso de fibrés vectoriels sur  $G \times X$ .
- + condition de cocycle.

exemple:  $[\text{pt}/G]$ : la condition de cocycle dit qu'un fibré vectoriel sur  $[\text{pt}/G]$  est exactement pareil qu'une représentation de  $G$ .

→ les champs algébriques ont un comportement mixte entre géométrie et théorie des représentations.

### Cohomologie des champs quotients

$X$  espace topologique  $\rightarrow H^*(X)$  cohomologie singulière

foncteur contravariant:

$$f: X \rightarrow Y \rightsquigarrow f^*: H^*(Y) \rightarrow H^*(X)$$

Si  $f: X \rightarrow Y$  est propre, on a un pousser-en-avant

$$f_*: H^*(X) \rightarrow H^*(Y)$$

## Cohomologie équivariante

$X \circ G \rightsquigarrow H_G^*(X)$   
 esp top groupe top

$E$  esp top contractible avec action de  $G$  libre

$$H_G^*(X) := H^*(X \times E/G)$$

Ne dépend pas du choix de  $E$  :

$$\begin{array}{ccc} \text{fiber } E' & \xrightarrow{\quad X \times E \times E' / G \quad} & \text{fiber } E \\ \downarrow & & \swarrow \\ X \times E / G & & X \times E' / G \end{array}$$

$$\text{ex: } H_{C^*}^*(\text{pt}) \cong \mathbb{Q}[x]$$

$$H_{GL_n}^*(\text{pt}) \cong \mathcal{A}[[x_1, \dots, x_n]]^{\odot_n}.$$

### ③ Algèbres de Hall cohomologiques

$\mathcal{Q} = (\mathcal{Q}_0, \mathcal{Q}_1)$  carquois

$d \in N^{Q_0}$  vecteur dimension

champ des représentations de  $\mathcal{Q}$  de dimension  $d$  :

$$\mathcal{M}_{\mathcal{Q}, d} = [X_{\mathcal{Q}, d} / GL_d] \quad \text{où}$$

$$X_{\mathcal{Q}, d} = \prod_{\alpha \in Q_1} \text{Hom}(\mathbb{C}^{d_{s(\alpha)}}, \mathbb{C}^{d_{t(\alpha)}})$$

G

$$GL_d = \prod_{i \in Q_0} GL_{d_i} \quad \text{par changement de base aux sommets}$$

suites exactes de représentations de  $\mathcal{Q}$  :

$$0 \rightarrow M \xrightarrow{f} E \xrightarrow{g} N \rightarrow 0$$

f injective, g surjective,  $\ker(g) = \text{im}(f)$

champs des suites exactes :

$$d, d' \in N^{Q_0} \quad \mathbb{C}^{d+d'} \cong \mathbb{C}^d \oplus \mathbb{C}^{d'} \quad \text{en } \mathcal{Q}_0\text{-gradués}$$

$$P_{d, d'} = \left\{ g \in GL_{d+d'} \mid g \cdot \mathbb{C}^d \subset \mathbb{C}^d \right\}$$

"sous-groupe parabolique"

$$X_{\mathcal{Q}, d, d'} = \left\{ (\chi_\alpha)_{\alpha \in Q_1} \in X_{\mathcal{Q}, d+d'} \mid \chi_\alpha(\mathbb{C}^{d_{s(\alpha)}}) \subset \mathbb{C}^{d_{t(\alpha)}} \right\}$$

$$\text{Exact}_{Q,d,d'} = \left[ X_{Q,d,d'} / P_{d,d'} \right] .$$

Diagramme d'induction

$$\begin{array}{ccc}
 X_{Q,d,d'} & = & \left\{ \begin{pmatrix} * & * \\ 0 & \square \end{pmatrix} \right\} \\
 \downarrow & & \downarrow \\
 X_{Q,d} \times X_{Q,d'} & & \mathcal{M}_{Q,d} \times \mathcal{M}_{Q,d'} \\
 \square & \square & \downarrow q \quad \downarrow p
 \end{array}$$

Fact:  $p$  is proper and so, pushforward

$$p_* : H^*(\text{Exact}_{Q,d,d'}) \rightarrow H^*(\mathcal{M}_{Q,d+d'})$$

$$\begin{array}{c}
 q^* : H^*(\mathcal{M}_{Q,d} \times \mathcal{M}_{Q,d'}) \rightarrow H^*(\text{Exact}_{Q,d,d'}) \\
 \text{SII Künneth} \\
 H^*(\mathcal{M}_{Q,d}) \otimes H^*(\mathcal{M}_{Q,d'})
 \end{array}$$

La composition donne

$$m_{d,d'} = p_* q^* : H^*(\mathcal{M}_{Q,d}) \otimes H^*(\mathcal{M}_{Q,d'}) \rightarrow H^*(\mathcal{M}_{Q,d+d'})$$

Structure d'algèbre associative  $\mathbb{N}^\infty$ -graduée sur  $\bigoplus_{d \in \mathbb{N}^\infty} H^*(\mathcal{M}_{Q,d})$ .

Espace sous-jacent :

$$H^*(M_{Q,d}) \cong \mathbb{Q}[x_{i,l} : i \in Q_0, 1 \leq l \leq d_i]$$

$$\mathbb{G}_d = \prod_{i \in Q_0} \mathbb{G}_{d_i}$$

$\mathbb{G}_{d_i}$  permute les variables  $x_{i,l}, 1 \leq l \leq d_i$ .

Formule explicite : algèbre de battoise

$$k_{d,d'} = \frac{\prod_{\alpha \in Q_1} \prod_{r=1}^{d_s(\alpha)} \prod_{s=d_{t(\alpha)+1}}^{d_{t(\alpha)}+d'_{t(\alpha)}} (x_{t(\alpha),s} - x_{s(\alpha),r})}{\prod_{i \in Q_0} \prod_{r=1}^{d_i} \prod_{s=d_i+1}^{d_i+d'_i} (x_{i,s} - x_{i,r})}$$

$$\in \mathbb{Q}(x_{i,\ell} : i \in Q_0, 1 \leq \ell \leq d_i + d'_i)$$

$k_{d,d'}$  est  $\mathfrak{S}_d \times \mathfrak{S}_{d'}$  - invariant.

$$f \in H^*(M_{Q,d}), \quad g \in H^*(M_{Q,d'})$$

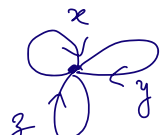
$m_{d,d'}(f, g) =$  symétrisation de  
 $f g k_{d,d'}$  pour le rendre  
 $\mathfrak{S}_{d+d'}$  - invariant

#### ④ Casquois avec potentiel

Pas de potentiel : "algèbre de battage"

Situation plus intéressante : potentiel

$W \in \mathbb{C}Q$  combinaison linéaire de cycles

ex  $Q =$    $kQ = k\langle x, y, z \rangle$

$$W = xyz - xzy$$

Pour  $d \in \mathbb{N}^{Q_0}$ ,  $\text{Tr}(w)_d : X_{Q,d} \rightarrow \mathbb{C}$  fonction

$G_{Q,d}$ -invariante : fonction sur le champ

$$\text{Tr}(w)_d : M_{Q,d} \rightarrow \mathbb{C}.$$

Foncteur des cycles évanescents  $\varphi_{\text{Tr}(w)_d}$  faisceau

constructible sur  $M_{Q,d}$ .

La construction précédente se généralise : il y a une structure d'algèbre associative sur

$$\text{CoHA}(Q, w) := \bigoplus_{d \in \mathbb{N}^{Q_0}} H^*(M_{Q,d}, \varphi_{\text{Tr}(w)_d}).$$

cohomologie à coefficients dans  $\varphi_{\text{Tr}(w)_d}$ .

Question : décrire  $\text{CoHA}(Q, w)$  plus explicitement / algébriquement

## 5 Exemples

- $\mathbb{Q}$  carquois

$\text{CoHA}(\mathbb{Q})$  est une algèbre de lattage

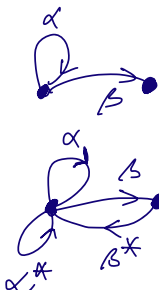
- $\mathbb{Q}$  carquois symétrique

$\text{CoHA}(\mathbb{Q})$  est supersymétrique

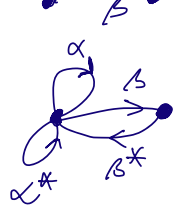
par rapport au degré cohomologique

- carquois triple et potentiel canonique

$\mathbb{Q}$  carquois

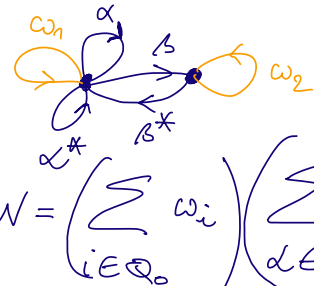


$\tilde{\mathbb{Q}}$  carquois double



$\tilde{\mathbb{Q}}$  carquois triple

potentiel canonique



$$W = \left( \sum_{i \in Q_0} w_i \right) \left( \sum_{\alpha \in Q_1} [\alpha, \alpha^*] \right)$$

$$\begin{aligned} \mathbb{Q} &= \begin{array}{c} \text{Diagram of } \mathbb{Q} \text{ quiver} \\ \text{with nodes } x, y, z \end{array} \\ \tilde{\mathbb{Q}} &= \begin{array}{c} \text{Diagram of } \tilde{\mathbb{Q}} \text{ quiver} \\ \text{with nodes } x, y, z \end{array} \end{aligned}$$

$$W = xyz - xzy.$$

$\text{CoHA}(\mathbb{Q}, w)$  n'est pas connue mais il existe une filtration  $F^\bullet$  de  $\text{CoHA}(\mathbb{Q}, w)$  t.q

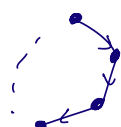
$$\text{Gr}^{F^0} \text{CoHA}(\mathbb{Q}, w) \cong \bigcup \underline{\mathcal{H}^+[\mathfrak{u}]} \quad \text{algebra de courant de } \mathcal{H}^+$$

$\mathcal{H}^+$  = une certaine algèbre de Kac-Moody généralisée.

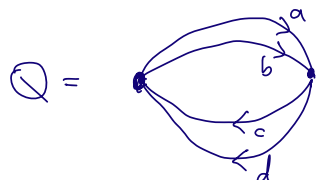
[Davison-H-Schlegel Mejia]

- Davison : Description de  $\text{CoHA}(\tilde{\mathbb{Q}}, w)$  lorsque  $\mathbb{Q} = \mathbb{R}$

- Jindal : Description de  $\text{CoHA}(\mathbb{Q}, w)$  lorsque  $\mathbb{Q}$  est un carquois cyclique



- Davison-Jindal : description de  $\text{CoHA}(\mathbb{Q}, w)$  lorsque  $(\mathbb{Q}, w)$  est le carquois conifolde.



$$w = acbd - adbc$$